

**Polymer (Korea)** Published by The Polymer Society of Korea  
Vol. 6 No. 3 1982  
Printed in the Republic of Korea

## 低密度 硬質 Polyurethane Foam의 力學的 性質(Ⅲ) (補強材의 表面處理 効果)

金源澤 · 盧時台 · 全遇容

漢陽工大 工業化學科

(1982년 1월 13일 접수)

## Mechanical Properties of Low Density Rigid Polyurethane Foams (Ⅲ) (The Effect of Surface Treatment of Mica-flake Filler)

W.T. Kim, S.T. Noh and W.Y. Jun

Department of Industrial Chemistry, College of Engineering,  
Hanyang University, Seoul 133, Korea

(Received January 13, 1982)

**要旨：**硬質 Polyurethane foam의 cellular matrix와 補強材인 mica-flake의 계면 접착력을 향상시키기 위하여 mica-flake를 coupling agent로 表面處理하여 混合使用하였다. Coupling agent處理는 silane系와 titanate系로 使用하였으며 이때 界面活性劑의 効果도 명행하여 實驗하였다. 補強 foam에 대한 理論强度式으로는 불연속 板狀充填材充填系에 대한 Padawer & Beecher의 理論式과 非補強 foam에 잘 적용이 되는 Rusch의 實驗式으로부터 複合式을 유도하여 實驗結果와 비교하였다. 板狀充填材를 표면처리하여 充填시킨 경우에 壓縮彈性率과 壓縮強度는 모두 향상된 결과를 나타냈으며, 壓縮特性은 titanate 系가 silane 系보다 좋았고 界面活性劑의 効果도 크게 기여함을 알 수 있었다. 構造的으로 mica 含量이 20wt.% 이상 充填된 경우 cell의 급격한 파괴를 일으켰다.

**ABSTRACT;** To improve the interfacial adhesive strength between cellular matrix and filler in rigid polyurethane foam, the surface of filler was treated with coupling agent. Silane and titanate derivatives were used as coupling agents. The influence of addition of surfactant to coupling agent on the adhesive strength was also examined. The effect of surface treatment on the compressive properties of polyurethane foams were discussed by examining the combining equation of Padawer & Beecher's and Rusch's equations; the former equation could be applied to the matrix filled with discontinuous platelet filler, the latter generally to the foams. In case of reinforced foam, by treating the surface of platelet filler with coupling agents, both compressive modulus and

compressive strength were found to be improved. Compressive property of foam the filled with titanate treated mica was better than that of foam filled with silane treated mica. It was found that the surfactant has an excellent effect on the compressive properties. The cell structure was obviously destroyed when more than 20wt. % of mica was loaded.

## 1. 序 論

硬質 polyurethane foam의 力學的 性質에 대한 자세한 言及은 이미 前報<sup>1,2</sup>에서 서술하였다. 특히 補強 foam의 기계적 特性은 foam matrix에 充填材의 分散에 의해 달라진다.<sup>3,4</sup> 또 補強材와 matrix 間의 界面接觸力에 따라 力學的 性質이 변화한다.<sup>2</sup> 補強材는 주로 glass-fiber, glass-flake, mica-flake 등이 使用<sup>3~6</sup>되며 表面處理에 의한 補強效果에 대한 研究는 아직 많지 않다.

따라서 本 研究에서는 補強材로 板狀 充填材 mica-flake를 表面處理하여 充填시켜 處理別 補強效果를 검토하였다.

Padawer & Beecher<sup>7</sup>의 不連續板狀 充填材 補強效果에 관한 理論式과 foam에 잘 적용되는 Rusch<sup>8,9</sup>의 實驗式을 組合한 複合式<sup>10</sup>을 이용하여 각각의 表面處理效果를 비교하였다.

補強材의 含量別 및 表面處理別 補強效果에 대한 이론적인 考察을 위해 전자현미경 관찰에 의해 cell의 구조를 규명하고 contact angle meter에 의한 접촉각의 측정으로 表面處理別 補強效果를 확인하였다.

## 2. 實 驗

### 2-1. 試料 및 試藥

本 實驗에 使用된 foam은 polyether-based polyurethane foam으로, 使用한 polyol은 한국 폴리올(株)의 HD-401(CH value 401) isocyanate는 Kasei Upjohn社의 MDI (NC0% 31.5), Catalyst는 DABCO 33LV (DABCO 33wt% +diethylene glycol 67%)를, 界面活性劑는 Dow Corning社의 Silicone系 DC-193 (polyalkylsiloxane-

polyoxyalkylene copolymer)을 使用하였다. 發泡劑로 물을 使用하여 密度를 0.04~0.2(g/cm<sup>3</sup>) 까지 변화시켰다.

充填材로는 天然產 mica (muscovite)를 使用하였으며 表面處理劑로 使用된 coupling agent로는 silane系 Z-6030( $\gamma$ -methacryloxypropyl methoxy silane, Dow Corning)와 titanate系 41-B [tetra isopropyl bis (dioctyl phosphate) titanate, 味表社]를 使用하였다. 表面處理時 表面安定劑로 첨가한 surfactant는 Emulphor O (polyoxy ethylene nonylphenyl ether)를 使用하였다. Urethane과 Mica의 物性值는 Table. I 과 같다.

### 2-2. 機器

本 實驗에 使用된 機器는 다음과 같다. Foam의 壓縮彈性率과 壓縮強度를 측정하기 위하여 Universal Instron test machine(Model 1123)을 使用하였고, mica의 選別은 vibrating sieve와 shaker에 의해 행하였다. 充填 foam의 構造를 관찰하기 위하여 mica含量別로 전자현미경(Model MSM-4)으로 관찰하고 表面處理別 接触각을 측정하기 위해 contact angle meter(日本 Erma社)를 使用하였다.

### 2-3. Mica의 選別 및 Aspect Ratio 測定

工業的으로 生產되는 天然產 mica(muscovite)를 乾式으로 碎粉하여 vibrating sieve에 의해서 좁은 範圍의 크기를 갖는 group으로 分類하여 充

Table I. Properties of Materials

Material	Density (g/cm <sup>3</sup> )	Compressive modulus (kg/cm <sup>2</sup> )	Shear modulus (kg/cm <sup>2</sup> )
Mica	2.7	$2 \times 10^8$	—
Urethane	1.19	$2 \times 10^4$	7,690



20wt% 씩 충전시켜 壓縮彈性率을 測定하였다.

그림 중의 점선은 式(3)에 Table. I 및 Table. II의 값을 대입한 계산값이다. 전체적으로 실험값이 계산값보다 떨어지며 충전材의 含量에 따라서 차이가 있음을 알 수 있다. 理論的으로 mica를 補強시킨 경우 實驗값은 理論값의 최저 50%까지 나타낸 것이 報告된 바 있다.<sup>10</sup>

이와같이 계산값과 실험값의 현저한 차이는 충填材의 배열이 不均一하고 충填材와 matrix간의界面접착이 不完全하기 때문이다. 이미 matrix의 계면전단강도를 향상시킨 경우는 報告하였다<sup>2</sup>.

Fig. 1은 表面處理하지 않은 mica를 종량분율로 0~20wt%까지 충전시켰을 경우의 壓縮彈性率값을 나타낸 것이다. Mica의 含量이 增加함에 따라 弹性率이 增加하지만 20wt%를 충填한 경우에는 10wt% 충填한 때보다 弹性率이 떨어진다. Mica含量이 15wt%이상으로 충填될 때 壓縮彈性率이 떨어지는 것은 cell의 현저한 파괴에 기인한다.

Fig. 2, Fig. 3, Fig. 4 및 Fig. 5는 mica를 表面處

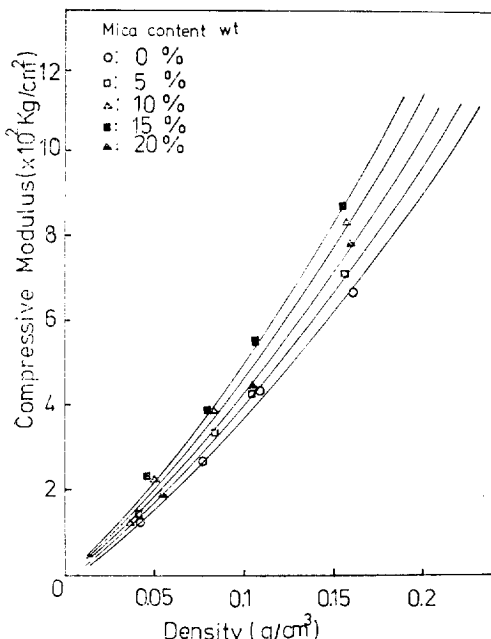


Figure 1. The Compressive Modulus vs. Density of Mica-Filled Polyurethane Foams.

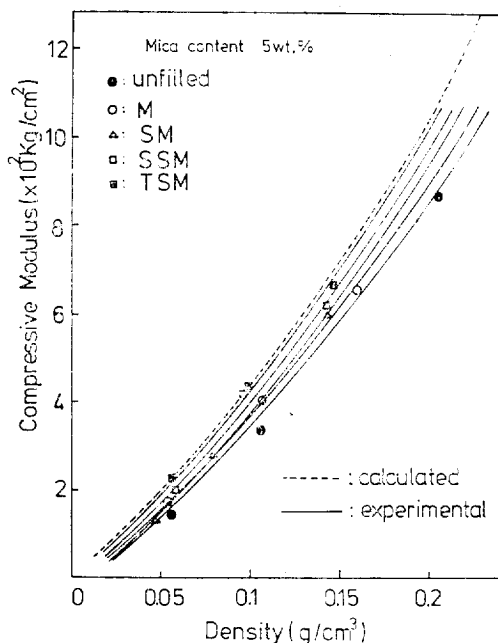


Figure 2. The Compressive Modulus vs. Density of Polyurethane Foams Filled with Coupling Agent Treated Mica.

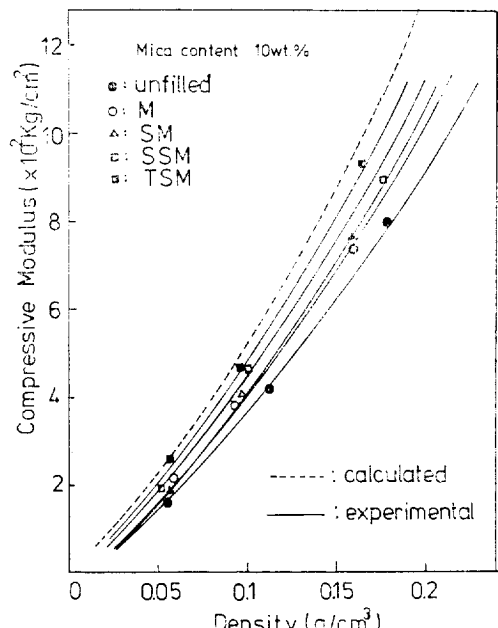
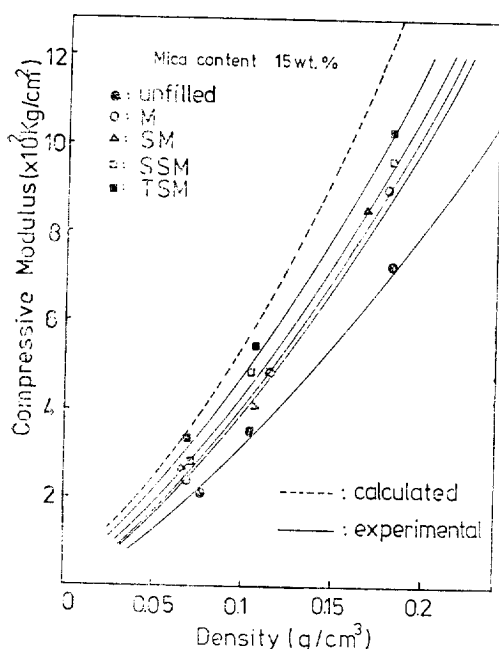
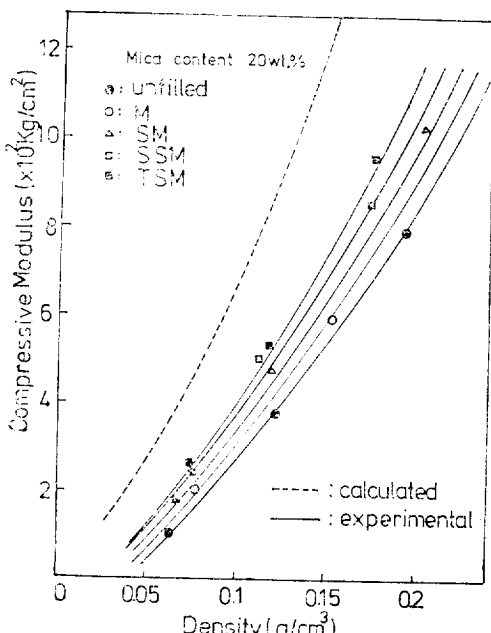


Figure 3. The Compressive Modulus vs. Density of Polyurethane Foams Filled with Coupling Agent Treated Mica.

低密度 硬質 Polyurethane Foam의 力學的 性質(III)(補強材의 表面處理 效果)



**Figure 4.** The Compressive Modulus vs. Density of Polyurethan Foams Filled with Coupling Agent Treated Mica.



**Figure 5.** The Compressive Modulus vs. Density of Polyurethane Foams Filled with Coupling Agent Treated Mica

理別로 5wt%~20wt%까지 充填시킨 foam의 壓縮彈性率을 表面處理하지 않은 mica를 充填시킨 foam의 弹性率 및 無充填 foam의 弹性率과 비교하여 나타낸 것이다. Fig. 2~Fig.5에서 알 수 있듯이 實驗값이 계산값에는 현저하게 떨어지나 表面處理함으로써 계산값에 근접된 物性值를 나타내었다. 表面處理別 壓縮彈性率은 titanate 系 coupling agent로 處理한 경우가 가장 높았고 그 다음에 silane 系 coupling agent와 界面活性劑를 混合하여 處理한 경우, 無處理의 경우의 순서로 나타났다. Mica의 含量이 많을수록 處理效果가 뚜렷하였으며 titanate 系 coupling agent로 處理하여 20wt% 充填시킨 경우에 계산값보다는 떨어지나 최고 25%의 壓縮彈性率增加를 나타내었다.

Photo. 1, Photo. 2 및 Photo. 3은 mica를 含有하지 않은 foam과 5wt%~20wt%까지 含有한 foam의 cell構造를 전자현미경으로 150倍 확대하여 관찰하였고 특히 Photo. 3f는 mica의 함침 상태를 보기 위해 1,000倍로 확대하여 관찰한 것이다. 사진에서 보듯이 mica가 20wt%充填된 경우는 cell이 거의 그 형태를 유지하지 못하고 있음을 알 수 있다. 20wt%이상充填時彈性率의低下는 Photo. 3e로 확인할 수 있다. Mica含量이 15wt%까지는 cell의 파괴보다는 matrix와의處理別 계면접착력이 증가되어 弹性率이 증가한다.

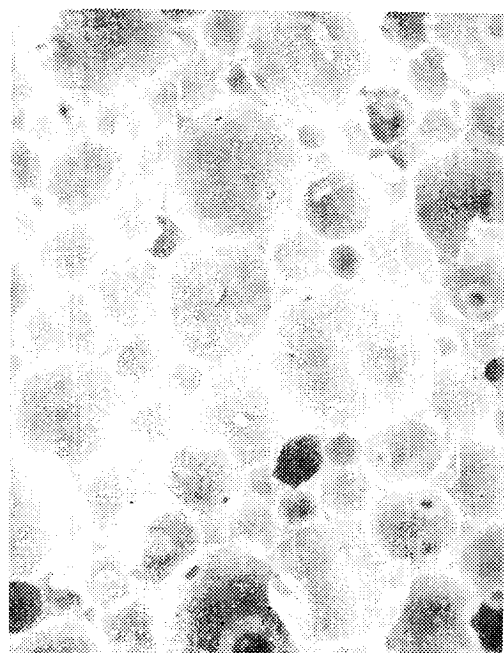
### 3-2. 表面處理別 壓縮強度

Matrix만의 수지가 foam의 形態로 변해가면서 그 強度의 比는 補強材의 부피분율이 같을 때 어떤 일정한 값을 나타내는 3차식으로 나타낼 수 있다.<sup>8,9</sup>

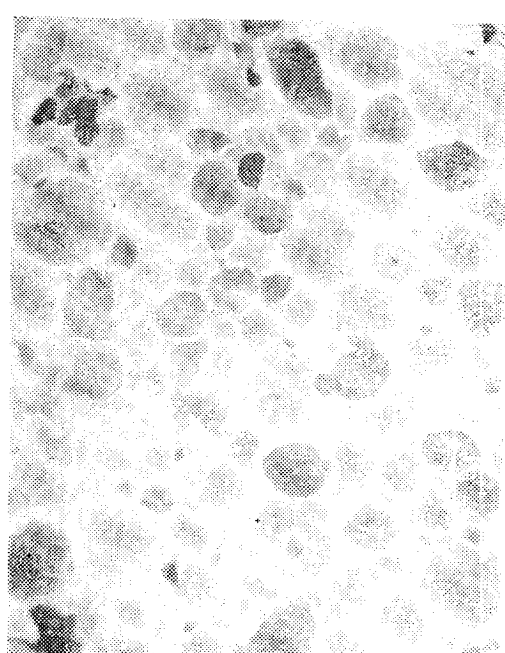
$$\frac{\sigma_{\text{foam}}}{\sigma_{\text{--}}} = K(V) \dots \dots \dots \quad (4)$$

foam 만의 强度는

(5) 式에 補強材를 充填시킨 경우에 補強材에  
의한 matrix performance ratio(MPR)와 matrix  
와 充填材의 계면접착력  $\gamma_{m,p}$ 을 組合하여 充填  
foam의 強度式을 유도하였다.

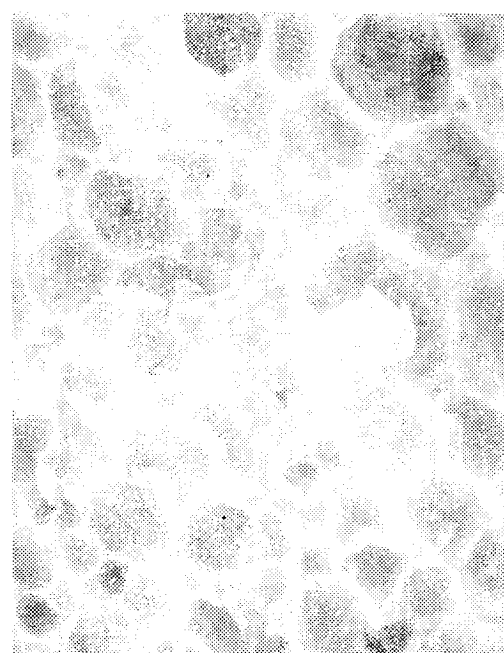


(a) mica 0% ( $\times 150$ )

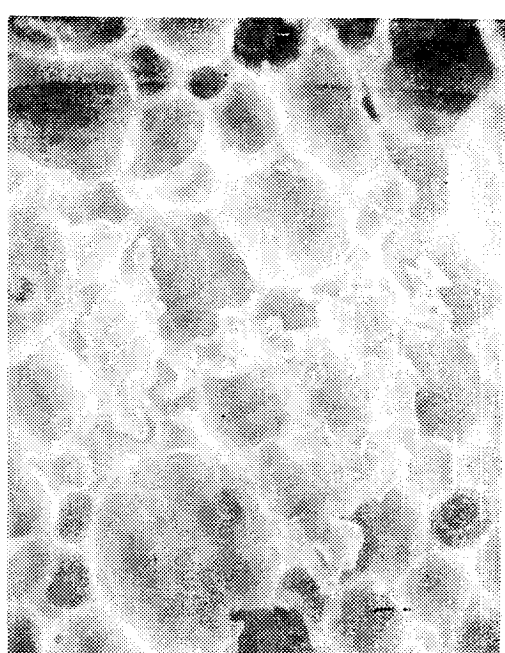


(b) mica 5% ( $\times 150$ )

Photo. 1. Electron Micrographs of Cell Structure of Polyurethane Foams. a) Unreinforced, b) Reinforced with Mica.



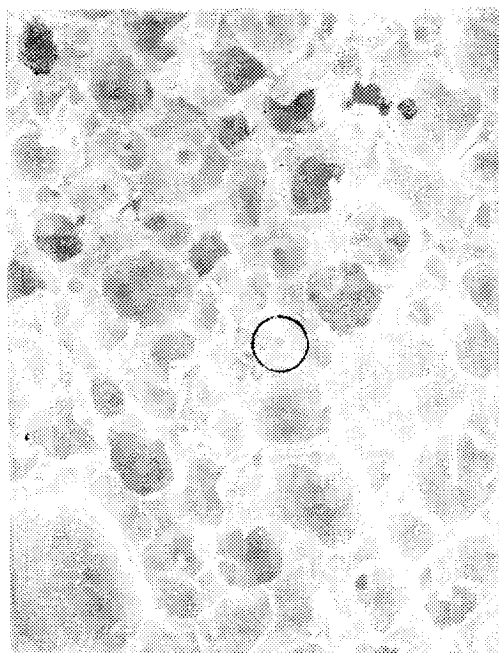
(c) mica 10% ( $\times 150$ )



(d) mica 15% ( $\times 150$ )

Photo. 2. Electron Micrographs of Cell Structure of Polyurethane Foams Reinforced with Mica.

## 低密度 硬質 Polyurethane Foam의 力學的 性質(Ⅲ)(補強材의 表面處理 效果)



(e) mica 20% ( $\times 150$ )



(f) mica 20% ( $\times 1,000$ )

**Photo. 3.** Electron Micrographs of Cell Structure of Polyurethane Foam Reinforced with Mica.

$$\sigma_{c, \text{foam}} = \gamma_{m,p} \cdot (MPR)_p \cdot \sigma_m \cdot K(V) \dots\dots (6)$$

$$(MPR)_p = V_p \frac{\alpha_p}{[U]_p} \left[ \frac{1}{\tanh[U]_p} - \frac{1}{[U]_p} \right]$$

$$[U]_p = \alpha_p [G_m V_p / E_p (1 - V_p)]^{\frac{1}{3}}$$

$\sigma_{c, \text{foam}}$  : compressive strength of composite foam

$\sigma_m$  : compressive strength of matrix

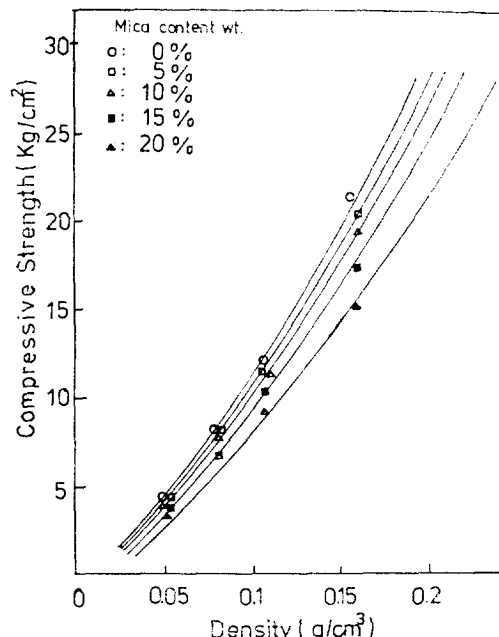
$\sigma_{\text{foam}}$  : compressive strength of foam

$\gamma_{m,p}$  : interfacial tension between matrix and filler

$(MPR)_p$  : matrix performance ratio

(2)式에서 알 수 있듯이 계면접착력  $\gamma_{m,p}$ 값의 증가로複合 foam의 壓縮强度를 향상 시킬 수 있다. Mica를 表面處理하여 充填시킴으로써 mica의  $\gamma_{m,p}$ 값을 증가시켜 foam의 壓縮强度向上效果를 나타낸다.

Fig. 6은 表面處理하지 않은 mica를 중량분율 0~20wt%로까지 充填시켰을 경우의 壓縮强度를 나타낸 것으로 mica의 含量이 增加함에 따라 強度가 떨어진다. 理論的으로 matrix에 補強材가 充填됨으로써 어느 정도까지는 強度가 향상되지만



**Figure 6.** The Compressive Strength vs. Density of Mica-Filled Polyurethane Foams.

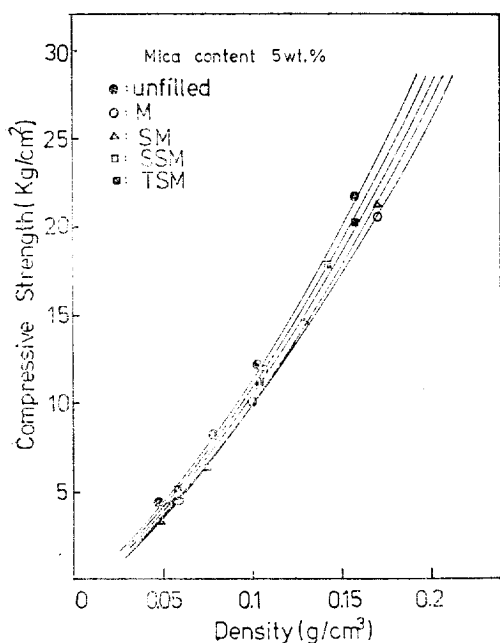


Figure 7. The Compressive Strength vs. Density of Polyurethane Foams Filled with Coupling Agent Treated Mica.

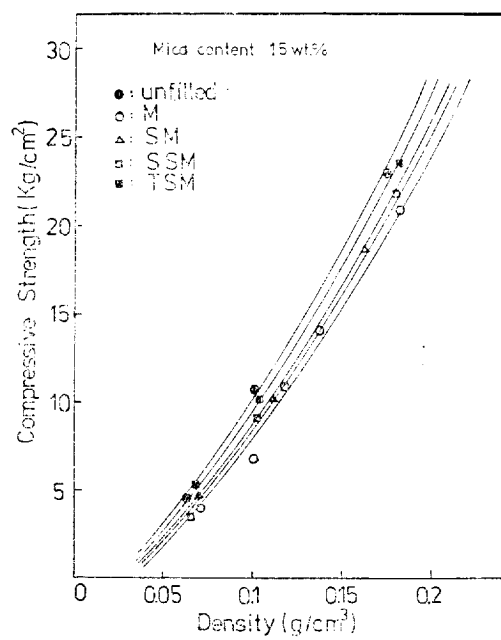


Figure 9. The Compressive Strength vs. Density of Polyurethane Foams Filled with Coupling Agent Treated Mica.

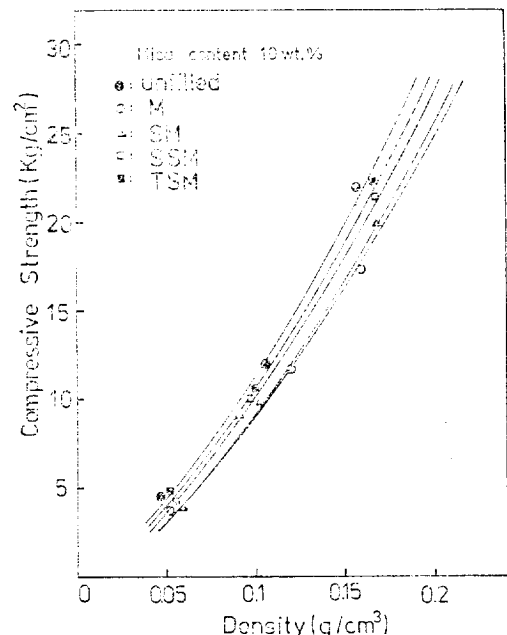


Figure 8. The Compressive Strength vs. Density of Polyurethane Foams Filled with Coupling Agent Treated Mica.

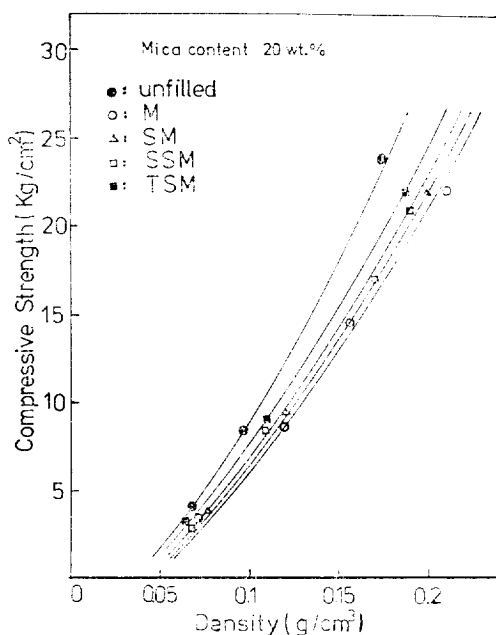


Figure 10. The Compressive Strength vs. Density of Polyurethane Foams Filled with Coupling Agent Treated Mica.

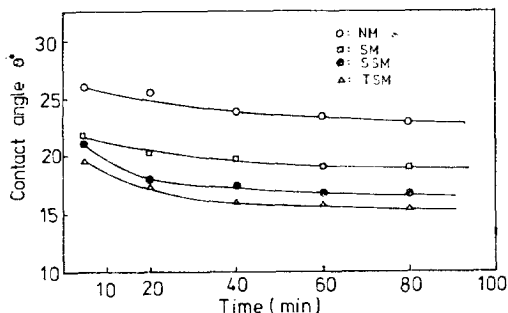
低密度硬質 Polyurethane Foam의 力學的 性質(Ⅲ)(補強材의 表面處理 效果)

만 foam에 있어서는 充填材인 mica-flake粒子의 不均一性과 不完全한 配向, 成形 또는 加工時 flake粒子의 破斷 및 matrix中 flake粒子의 불완전한 分散에 따른 flake-flake間 撞擊 현상 (lapping)等으로 인하여 強度가 떨어진다<sup>14</sup>(Photo 3. f).

Fig. 7, Fig. 8, Fig. 9 및 Fig. 10은 mica를 表面處理別로 5wt%~20wt% 充填시킨 경우의 壓縮強度를 나타낸 것으로 彈性率에서와 마찬가지로 titanate系 coupling agent로 處理한 mica를 充填한 경우가 가장 좋은 效果를 나타내었다. 그러나 mica를 充填시키지 않은 경우보다는 強度가 떨어지며 mica含量이 增加할수록 그 차이는 크게 나타난다. Titanate系 coupling agent로 處理한 mica를 20wt% 充填시킨 경우에 최고 32%의 強度向上을 보였으며 silane系 coupling agent로 처리한 mica를 使用한 경우는 5~12%의 向上을 보였다. 積착력을 나타내는 일반식으로

를 들수 있는데 (3)式에서 界面接觸角  $\theta$ 값이 작아질수록  $W_A$ 는 크게 된다. 여기서  $W_A$ 는 adhesion work이고  $\gamma_{LV}$ 는 液・氣( $L/V$ )界面遊離比表面에너지(specific free surface energy)이다.

表面處理別 계면 접촉각을 비교하기 위하여 contact angle meter로 접촉각을 채어 Fig. 11에 표시하였다. Titanate 系 coupling agent로 처리한 경우가 가장 작은 접촉각을 나타내어 계면 접착력이 가장 크므로 表面處理效果가 가장 좋다.



**Figure 11.** Time Dependence of Relative Contact angle of Coupling Agent Treated Mica.

는 사실은 實驗結果와 비교하여 잘 일치하고 있음을 알 수 있었다.

#### 4. 結論

Mica充填 硬質 polyurethane foam의 力學的性質에 미치는 因子中 補強材의 表面處理에 따른 補強效果를 檢討한 결과 다음과 같은 結論을 얻었다.

- 1.同一 isocyanate를 사용한 경우, mica含量이 15wt%充填된 경우가 壓縮彈性率에 있어서 가장 좋았으며 壓縮強度는 mica含量이增加할수록 점점 감소한다.
  - 2.Mica含量에 따른 cell의 構造는 20wt%이 상에서 현저한 파괴를 일으켜 壓縮特性이 低下된다.
  - 3.Mica의 表面處理別 補強效果는 TSM>SSM>SM>M의 順으로 나타났으며, 壓縮彈性率의 경우 최고 25%, 壓縮強度의 경우 32%의 表面處理效果를 나타내었다.

引用文獻

1. W.T. Kim, S.T. Noh, S.L. Lee and C.N. Jung, *Polymer (Korea)*, **6**, 20 (1982).
  2. W.T. Kim, S.T. Noh and W.Y. Jun, *Polymer (Korea)*, **6**, 45 (1982).
  3. T.C. Cotgreave and J.B. Shortall, *J. Mater. Sci.*, **12**, 708 (1977).
  4. T.C. Cotgreave and J.B. Shortall, *J. Cell. Plast.*, **13**, 240 (1977).
  5. 吉田重雄, プラスチックス, **31**, 35 (1979).
  6. P. Barma and M.B. Rhodes, *J. Appl. Phys.*, **49**, 4935 (1978).
  7. G.E. Padawer and N. Beecher, *Polym. Eng. Sci.*, **10**, 185 (1970).
  8. K.C. Rusch, *J. Appl. Polym. Sci.*, **13**, 2297 (1969).
  9. K.C. Rusch, *J. Appl. Polym. Sci.*, **14**, 1263 (1970).
  10. W.T. Kim, S.T. Noh and Y.C. Nho, *Poly-*